

## مطالعه اثر ضد میکروبی اسانس رزماری بر سه باکتری بیماری‌زای غذایی در سبزیجات با استفاده از PCR کمی و پروپیدیوم مونوآزید

مریم عزیزخانی<sup>۱\*</sup>، پاتریسیا الیزاکویویل<sup>۲</sup>

۱- استادیار، دانشکده دامپزشکی، دانشگاه تخصصی فن‌آوری‌های نوین آمل، آمل، ایران

۲- گروه میکروبیولوژی و اکولوژی دانشگاه والنسیا، بورکاسوت، والنسیا، اسپانیا

\* نویسنده مسئول مکاتبات: azizkhani.maryam@gmail.com

(دریافت مقاله: ۹۳/۶/۱۸؛ پذیرش نهایی: ۹۴/۷/۱۱)

### چکیده

اسانس‌های گیاهی از دیرباز با هدف بهبود طعم در مواد غذایی به کار می‌رفتند. امروزه این اسانس‌ها به‌علت داشتن ترکیبات ضد میکروبی به‌عنوان نگه‌دارنده‌های طبیعی در محصولات غذایی مورد استفاده قرار می‌گیرند. در این مطالعه، ابتدا حداقل غلظت کشندگی رزماری علیه *اشریشیا کولای* O157: H7، *سالمونلا انتریکا* و *لیستریا مونوسیژنوز* تعیین شد. سپس کمیت سلول‌های زنده در یک جمعیت باکتریایی تحت تیمار با اسانس رزماری با PMA-qPCR تعیین شد. طبق نتایج مطالعه، غلظت‌های ۱٪، ۰/۰۴۵٪ و ۰/۰۹٪ به ترتیب موجب غیرفعال شدن *لیستریا مونوسیژنوز*، *اشریشیا کولای* O157: H7 و *سالمونلا انتریکا* شد. *لیستریا مونوسیژنوز* طی ۴۵ دقیقه غیرفعال گردید، در حالی که *سالمونلا انتریکا* و *اشریشیا کولای* طی ۹۰ دقیقه از بین رفتند. از آنجایی که اسانس رزماری در غلظت‌های پایین‌تر از سایر اسانس‌ها قادر به غیرفعال‌سازی برگشت‌ناپذیر سه پاتوژن مورد آزمایش شد، لذا دارای پتانسیل لازم جهت استفاده به‌عنوان افزودنی طبیعی یا نگه‌دارنده زیستی در مواد غذایی می‌باشد. علاوه بر این، یافته‌ها نشان داد روش PMA-qPCR یک روش کمی دقیق و اختصاصی برای جستجو و تشخیص انتخابی باکتری‌های بیماری‌زای زنده می‌باشد.

واژه‌های کلیدی: اسانس رزماری، سبزیجات، PMA-qPCR، نگه‌دارنده طبیعی، ضدباکتری

## مقدمه

نواقصی از جمله صرف مدت زمان نسبتاً طولانی برای رشد باکتری و فقدان حساسیت لازم در مورد سلول‌های زنده غیرقابل کشت (Viable But Non-Culturable: VBNC) می‌باشد (Kramer *et al.*, 2009). به‌عنوان یک روش جایگزین، Real time PCR امکان تشخیص و تعیین کمی سریع، حساس و اختصاصی عوامل بیماری‌زا را فراهم می‌آورد. علاوه بر این، این تکنیک از طریق پیش‌تیمار نمونه با عوامل متصل‌شونده به DNA، مانند پروپیدیوم مونوآزید (Propidium monoazide: PMA)، قادر به تمایز بین DNA سلول‌های مرده و زنده می‌باشد (Rudi *et al.*, 2002)، چرا که PMA تنها به درون غشاهای سلولی آسیب‌دیده نفوذ می‌کند، لذا این تکنیک بر اساس سالم بودن یا آسیب‌دیده بودن سلول‌های باکتریایی عمل می‌نماید (Nocker and Camper, 2006). پیش‌تیمار نمونه با PMA و سپس انجام qPCR (Quantitative Polymerase Chain Reaction) به‌طور موفقیت‌آمیزی برای تشخیص پاتوژن‌های باکتریایی مانند لیستریا مونوسیتوژنز (Pan and Breidt, 2007)، اشریشیا کولای O157:H7 (Elizaquivel *et al.*, 2012b) و کامپیلوباکتر ژژرونی (Josefsen *et al.*, 2010) به‌کار رفته است. اخیراً در مطالعه‌ای، تکنیک PMA-qPCR به‌عنوان ابزاری با کارایی بالا جهت شمارش سلول‌های زنده پس از تیمار با اسانس‌های دارچین، میخک، آویشن شیرازی و پونه کوهی به‌کار گرفته شده است (Elizaquivel *et al.*, 2012a). با توجه به این‌که اسانس‌های گیاهان مختلف به‌علت دارا بودن ترکیبات متفاوت تأثیرات متفاوتی بر دیواره سلولی باکتری و در نتیجه نفوذ PMA به درون سلول می‌گذارند، در مطالعه حاضر فعالیت ضد میکروبی

ایمنی میکروبی محصولات غذایی موضوع نگرانی اصلی مصرف‌کنندگان و نیز صنعت غذایی می‌باشد و در حال حاضر تقاضای مصرف‌کنندگان برای جایگزینی ترکیبات ضد میکروبی سنتتیک شیمیایی با ترکیبات طبیعی جهت حصول اطمینان از ایمنی مواد غذایی رو به افزایش است (Wentao *et al.*, 2007). در این رابطه، اسانس‌های گیاهی به‌عنوان نگه‌دارنده‌های خوراکی طبیعی توجه زیادی را جلب نموده‌اند. *Rosmarinus officinalis* L. متعلق به خانواده *Labiatae* است. در پژوهش‌هایی که در ارتباط با ترکیب شیمیایی اسانس رزماری انجام شده، آلفا-پینن به‌عنوان ترکیب اصلی گزارش شده و پس از آن به ترتیب ۱،۸-سینئول، کامفن، بتا-میرسین، کامفور و بورنئول عمده‌ترین ترکیبات اسانس رزماری را تشکیل می‌دهند (Jamshidi *et al.*, 2009; Moghtader and Afzali, 2009). برخی مطالعات نیز ۱،۸-سینئول به‌عنوان ترکیب اصلی این اسانس گزارش شده است (Fu *et al.*, 2007a; Fu *et al.*, 2001). فعالیت ضد میکروبی اسانس رزماری بر روی قارچ‌ها (Ozcan and Chalchat, 2008) و باکتری‌هایی نظیر استافیلوکوکوس اورئوس (Jarrar *et al.*, 2010)، سالمونلا تیغی‌موریوم (Zegura *et al.*, 2011)، لیستریا مونوسیتوژنز (Ruiz *et al.*, 2009) و هم‌چنین اشریشیا کولای (Fu *et al.*, 2007a) مورد مطالعه قرار گرفته است.

فعالیت اسانس‌ها علیه عوامل میکروبی بیماری‌زا و عامل فساد به‌طور معمول با استفاده از روش‌های متداول بر پایه کشت انجام گرفته است. این روش‌ها دارای

اسانس رزماری بر *اشریشیا کولای* O157:H7، *سالمونلا انتریکا* و *لیستریا مونوسیترنر* با استفاده از PMA در ترکیب با qPCR مورد ارزیابی قرار گرفت.

**مواد و روش‌ها**

سویه‌های باکتریایی، شرایط کشت و جداسازی DNA *اشریشیا کولای* O157:H7 (The Spanish type) (culture collection: CECT 5947) غیرتوکسیژنیک، *سالمونلا انتریکا* زیرگونه *انتریکا* (CECT 4138) و *لیستریا مونوسیترنر* (CECT 4031) از مجموعه کشت‌های میکروبی اسپانیا تهیه و در این مطالعه به کار رفت. باکتری‌ها در محیط تریپتیک سوی برات (Tryptic Soy Broth: TSB) در ۳۷ درجه سلسیوس به مدت ۱۸ ساعت کشت و به روش کشت در محیط تریپتیک سوی آگار (Trypticase Soy Agar: TSA) در شرایط گرمخانه‌گذاری مشابه بالا شمارش شدند. DNA باکتریایی با استفاده از کیت NucleoSpin Tissue (Machereye Nagel GmbH & Co. آلمان) مطابق دستورالعمل سازنده جداسازی و تخلیص شد.

**تهیه و آنالیز اسانس**

برگ و سرشاخه‌های هوایی گیاه رزماری از پژوهشکده گیاهان دارویی، کرج، تهیه و تا زمان استفاده به صورت خشک شده (خشک شده با استفاده از هوای گرم) نگهداری شد. اسانس از سرشاخه‌های هوایی خشک‌شده گیاه به روش تقطیر با آب (Hydro distillation) با سیستم کلونجر به مدت ۲ ساعت استخراج شد. متعاقب تهیه اسانس، آنالیز ترکیبات شیمیایی اسانس توسط دستگاه گاز-کروماتوگراف متصل به طیف‌نگار جرمی (Gas chromatography-

اسانس بر اساس *mass spectrometry: GC/MS* انجام شد. ترکیبات اسانس بر اساس مقایسه مدت زمان نسبی بازداری و طیف جرمی ترکیبات با استاندارد (Adams, 2001) شناسایی شدند. آلکان‌ها به عنوان نقاط مرجع در محاسبه شاخص‌های بازداری نسبی به کار رفتند (Adams, 2001).

تعیین حداقل غلظت بازدارنده رشد و حداکثر غلظت قابل تحمل

برای تعیین حداقل غلظت بازدارنده رشد (Minimum Inhibitory Concentration: MIC) و حداکثر غلظت قابل تحمل (Maximum Tolerable Concentration: MTC) از روش میکرودايلوشن برات استفاده شد (Klanecnik *et al.*, 2010). MIC به عنوان پایین‌ترین غلظتی که در آن دانسیته نوری نمونه مشابه دانسیته نوری نمونه شاهد (همان غلظت اسانس اما بدون باکتری) بود، در نظر گرفته شد. MTC به عنوان بیشترین غلظتی که در آن افزودن اسانس از لحاظ آماری تأثیر قابل ملاحظه‌ای بر رشد باکتری در مقایسه با شاهد (بدون اسانس) نداشت، به دست آمد.

#### سینتیک غیرفعال‌سازی

کشت‌های باکتریایی از کشت ۴ ساعته در TSB با تعداد  $10^8$ – $10^9$  cfu/ml تهیه شدند. کشت اصلی جهت به دست آوردن ۵ میلی‌لیتر سوسپانسیون حاوی  $10^8$  cfu/ml رقیق و سپس اسانس رزماری در غلظت‌های ۰/۰۳٪، ۰/۰۳۵٪ و ۰/۰۴٪ برای *اشریشیا کولای* O157:H7، ۰/۰۴۵٪، ۰/۰۵۰٪ و ۰/۰۵۵٪ برای *سالمونلا انتریکا* و ۰/۰۲٪، ۰/۰۲۵٪ و ۰/۰۳٪ برای *لیستریا مونوسیترنر* اضافه و مجدداً در ۳۷ درجه سلسیوس در گرمخانه مجهز به مخلوط‌کن نگهداری شد. در زمان‌های

**اندازه‌گیری کمی به روش Real-time PCR**

الیگونوکلوئوتیدهای مورد استفاده در این مطالعه (جدول ۱)، ژن بتا-گلوکورونیداز/شریشیا کولای (*O157:H7 uidA*)، ژن تهاجم (*JHOL*) سالمونلا انتریکا و ژن لیستریولیزین لیستریا مونوسیٹوژنز (*hly*) را هدف قرار می‌داد که قبلاً در مطالعه الیزاکویویل و همکاران استفاده شده بودند (Elizaquivel *et al.*, 2011). واکنش‌های PCR در حجم نهایی  $20 \mu\text{l}$  شامل  $10 \mu\text{l}$  مسترمیکس Brilliant II QPCR  $2\times$  با میزان بالای ROX (Stratagene، مادرید، اسپانیا)، و  $5 \mu\text{l}$  از DNA الگو انجام شد. همه واکنش‌ها شامل  $2 \mu\text{l}$  محلول Exo IPC DNA  $10\times$  و  $0.4 \mu\text{l}$  محلول Exo IPC DNA  $50\times$  (Applied Biosystems، ایالات متحده) به‌عنوان کنترل داخلی بود. غلظت پرایمرها، پروب‌ها و  $\text{MgCl}_2$  عبارت بود از: برای اشریشیا کولای  $O157:H7$   $250 \text{ nM}$  از هر پرایمر،  $25 \text{ nM}$  از پروب *uidA* و  $3/5 \text{ mM}$  محلول  $\text{MgCl}_2$ ؛ برای سالمونلا انتریکا،  $300 \text{ nM}$  از هر پرایمر،  $100 \text{ nM}$  از پروب *JHOL* و  $4/5 \text{ mM}$  محلول  $\text{MgCl}_2$  و برای لیستریا مونوسیٹوژنز،  $50 \text{ nM}$  از هر پرایمر،  $50 \text{ nM}$  از پروب *hly* و  $6 \text{ mM}$  محلول  $\text{MgCl}_2$ . تکثیر به‌صورت یک سیکل در  $50^\circ\text{C}$  درجه سلسیوس به‌مدت ۲ دقیقه، یک سیکل  $95^\circ\text{C}$  درجه سلسیوس به‌مدت ۱۰ دقیقه و  $40$  و  $95^\circ\text{C}$  درجه سلسیوس به‌مدت ۱۵ ثانیه و  $63^\circ\text{C}$  درجه سلسیوس به‌مدت ۱ دقیقه در دستگاه GeneAmp 5700 PE Biosystems Sequence Detection System (ایالات متحده) انجام شد. میزان فلورسنس در انتهای هر مرحله گسترش اندازه‌گیری شد. برای هر واکنش دو

،  $30$  و  $45$  دقیقه و همچنین ساعت‌های ۱،  $1/5$ ، ۲ و ۴ نمونه‌گیری و در محیط TSA شمارش شد. هر آزمایش در سه تکرار به‌صورت مستقل انجام شد. میانگین  $\log \text{ cfu/ml}$  و انحراف معیار محاسبه گردید. غلظتی از اسانس که پس از ۴ ساعت تیمار، فاقد رشد باکتریایی بود نشان‌دهنده کشته شدن همه سلول‌ها یا ورود به مرحله VBNC بود و به‌عنوان حداقل غلظت باکتری‌کشی (Minimum Bactericidal Concentration: MBC) محسوب گردید.

**تیمار با PMA**

PMA در دی‌متیل سولفوکساید  $20\%$  جهت به‌دست آوردن محلول استوک  $20 \text{ mM}$  حل و تا زمان استفاده در دمای  $20^\circ\text{C}$  درجه سلسیوس و دور از نور نگه‌داری شد. محلول استوک به  $500 \mu\text{l}$  از سلول‌های زنده یا سلول‌های تیمار شده با اسانس تا رسیدن به غلظت نهایی  $100 \mu\text{M}$  افزوده شد. جهت اطمینان از تکرارپذیری نتایج تیمار نمونه‌ها در سه تکرار انجام شد. پس از افزودن PMA، نمونه‌ها به‌مدت ۵ دقیقه در تاریکی در دمای اتاق قرار گرفت و برای افزایش نفوذ PMA در سلول، نمونه‌ها تکان داده شدند. سپس نمونه‌ها به‌مدت ۱۵ دقیقه با استفاده از سیستم فعال‌سازی نوری در معرض نور قرار گرفتند (Led-Active Blue, Ingenia Biosystems، بارسلونا، اسپانیا). پس از ایجاد اتصالات عرضی از طریق القای نوری، سلول‌ها در  $7000 \text{ rpm}$  به‌مدت ۵ دقیقه سانتریفوژ و محلول رویی دور ریخته شد. رسوب به‌دست آمده برای جداسازی DNA مورد استفاده قرار گرفت.

تکرار و در همه موارد یک کنترل منفی شامل ۵  $\mu$ l آب به جای DNA الگو در نظر گرفته شد.

جدول (۱) - پرایمرهای مورد استفاده جهت شناسایی اشریشیا کولای، سالمونلا انتریکا و لیستریا مونوسیژنوز

منبع	توالی (5'→3')	نام پرایمر	باکتری
Jinneman <i>et al.</i> , 2003	CAGTCTGGATCGCGAAAACCTG ACCAGACGTTGCCACATAAT	<i>uidA</i> -F <i>uidA</i> -R	اشریشیا کولای
Hoorfar <i>et al.</i> , 2000	TCGTCATTCCATTACCTACC AAACGTTGAAAACCTGAGGA	<i>JHOL</i> -F <i>JHOL</i> -R	سالمونلا انتریکا
Rodríguez-Lázaro <i>et al.</i> , 2004	CATGGCACCCAGCATCT ATCCGCGTGTTCCTTTTCGA	<i>hly</i> -F <i>hly</i> -R	لیستریا مونوسیژنوز

ارزیابی ماده غذایی تلقیح شده به طور مصنوعی جهت تعیین حساسیت واکنش PMA-qPCR. نسبت‌های مختلف از سلول‌های زنده و کشته شده توسط اسانس به‌طور مصنوعی به مخلوط سبزیجات (اسفناج، منداب، کاهوی سبز و قرمز) تلقیح شد. قبل از تلقیح، ۲۵ گرم از هر نمونه سبزی به روش کشت عدم وجود اشریشیا کولای O157:H7، سالمونلا انتریکا و لیستریا مونوسیژنوز مورد بررسی قرار گرفت. تلقیح باکتریایی سبزیجات به‌صورت زیر انجام گرفت: مقدار ۲۵ گرم از مخلوط سبزیجات در شرایط سترون به قطعات کوچک‌تر خرد شده و ۲۲۵ ml محلول آب‌پیتونه بافری (Condalab, Pronadisa, اسپانیا) در یک کیسه پلاستیکی استریل با یک فیلتر جانبی (BagPage S 400, BagSystem, Interscience, St-) استفاده از دستگاه پالسیفایر یکنواخت گردید (Microgen Bioproducts, انگلستان). مخلوط حاصل از قسمت فیلتر برداشت و در قسمت‌های ۳۰ میلی‌لیتری تقسیم شد. هر قسمت با مخلوطی از سلول‌های زنده و

منحنی‌های استاندارد با استفاده از توالی‌های ۱۰ برابری رقت از DNA استخراج شده از ۳ پاتوژن غذایی، در دامنه ۱ تا ۱۰<sup>۶</sup> معادل ژنوم در هر واکنش، با محاسبه بر پایه اندازه ژنوم این پاتوژن‌ها، تهیه گردید (Glaser *et al.*, 2001; Hayashi *et al.*, 2001; McClelland *et al.*, 2001). مقادیر نقاط عبور (Crossing point: Cp) حاصل از هر رقت جهت رسم منحنی استاندارد برای هر کدام از غلظت‌های مربوطه به‌کار رفت.

فعالیت باکتری‌کشی اسانس در ارزیابی سلول‌های زنده کشت‌های ۴ ساعته اشریشیا کولای O157:H7، سالمونلا انتریکا و لیستریا مونوسیژنوز با تعداد cfu/ml ۱۰<sup>۸</sup>-۱۰<sup>۹</sup> به‌صورت متوالی در TSB جهت به‌دست آوردن ۵ ml سوسپانسیون حاوی ۱۰<sup>۶</sup> و ۱۰<sup>۴</sup> cfu/ml در رقیق‌سازی و سپس به‌طور جداگانه با اسانس رزماری در غلظت‌های باکتری‌کشی مربوط به هر باکتری تیمار شدند. سوسپانسیون‌ها در دمای اتاق به مدت ۴ ساعت به‌طور مداوم مخلوط شدند. آنالیز نمونه‌ها با استفاده از روش شمارش روی پلیت، qPCR و PMA-qPCR در سه تکرار انجام شد.

جدول (۲) - ترکیبات اسانس رزماری بر اساس نتایج آنالیز GC/MS

ترکیب	مقدار (%)	شاخص بازدارنده بر روی ستون
آلفا-پینن	۹/۹۵	۹۳۰
کامفین	۳/۶۶	۹۴۱
بتا-پینن	۶/۵۳	۹۶۰
بتا-میرسین	۱/۰۸	۹۴۷
آلفا-ترپینن	۰/۴	۱۰۱۸
کیمول	۱/۶	۱۰۳۶
۱ و ۸- سینئول	۴۹/۹۹	۱۱۴۷
گاما-ترپینن	۰/۷۵	۱۱۹۲
کارین	۰/۴۰	۱۲۳۹
کامفور	۱۱/۸۸	۱۴۲۱
لینالول	۰/۸۳	۱۲۵۱
بورنئول	۳/۴۵	۱۵۵۵
۱-ترپینن-۴-ال	۰/۹۵	۱۵۶۲
پارا-منت-۱	۲/۲۳	۱۵۶۷
ان-۸-ال		
کوپانن	۰/۲۲	۱۵۸۵
کاریوفیلین	۳/۸۹	۱۶۰۰
آلفا-هومولین	۰/۴۳	۱۸۵۵
سایر	۱/۷۶	-
مجموع	۱۰۰	-

کشته شده توسط اسانس به صورت زیر تلقیح شد: ۱۰۰٪ سلول‌های زنده، ۷۵٪ سلول‌های زنده و ۲۵٪ سلول‌های مرده، ۵۰٪ سلول‌های زنده و ۵۰٪ سلول‌های مرده، ۲۵٪ سلول‌های زنده و ۷۵٪ سلول‌های مرده و ۱۰۰٪ سلول‌های مرده. یک کنترل منفی تلقیح نشده در هر آزمایش گنجانده شد. دو جزء ۱۰۰ میکرولیتری از هر نمونه تلقیح شده گرفته شد و یکی از آن دو با PMA تیمار گردید. DNA همه اجزای ۱۰۰ میکرولیتری با استفاده از کیت Nucleospin Tissue استخراج و توسط PMA-qPCR آنالیز شد. شمارش باکتریایی با افزودن ۱۰ گرم از مخلوط سبزی به ۹۰ ml آب پیتونه بافوری در کیسه پلاستیکی استریل دارای فیلتر جانبی و یکنواخت‌سازی با استفاده از پالسیفایر انجام شد. مقدار ۱ ml از محلول یکنواخت شده به صورت متوالی در آب پیتونه بافوری رقیق‌سازی و در پلیت TSA کشت داده شد. شمارش باکتری‌ها پس از ۲۴-۴۸ ساعت گرمخانه‌گذاری در ۳۷ درجه سلسیوس انجام شد.

#### تجزیه و تحلیل آماری

معنادار بودن اختلاف میان میانگین OD نمونه‌های تیمار شده با غلظت‌های مختلف اسانس از طریق آزمون Student's T-test با سطح اطمینان  $p < 0/05$  تعیین شد (Microsoft Office Excel; Microsoft, USA).

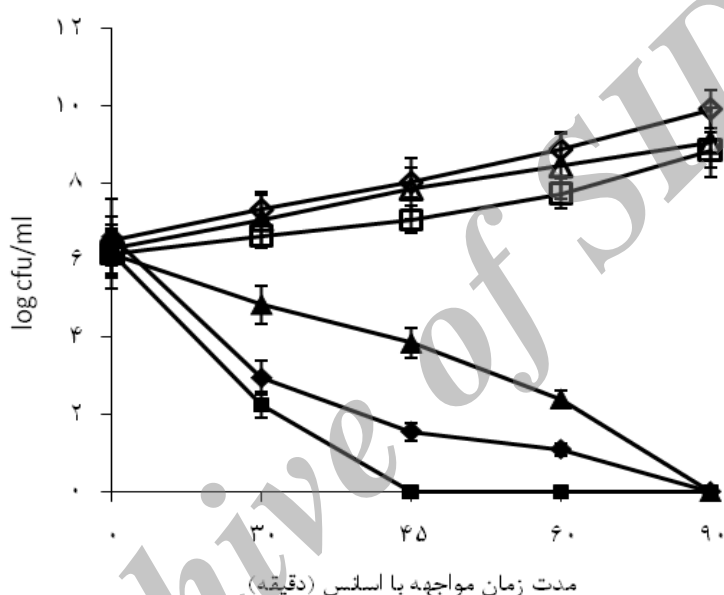
#### یافته‌ها

درصد ترکیبات اسانس (تعیین شده توسط GC/MS) در جدول (۲) آورده شده است. طبق نتایج این جدول، ترکیب اصلی اسانس رزماری (۱ و ۸- سینئول) با غلظت ۴۹/۹۹٪ برآورد شد.

مطابق OD به دست آمده، پس از ۲۴ ساعت گرمخانه‌گذاری اشریشیا کولای O157:H7، سالمونلا انتریکا و لیستریا مونوسیتوژنز تحت غلظت‌های مختلف اسانس، MIC معادل ۰/۴۵٪ برای اشریشیا کولای O157:H7، ۰/۹٪ برای سالمونلا انتریکا و ۰/۱٪ برای لیستریا مونوسیتوژنز به دست آمد. مقدار MTC برای اشریشیا کولای O157:H7 معادل ۰/۰۰۹٪، برای سالمونلا انتریکا معادل ۰/۰۵٪ و برای لیستریا مونوسیتوژنز معادل ۰/۰۶٪ بود. سینتیک غیرفعال‌سازی باکتری‌ها توسط اسانس در شکل (۱) اشاره شده است. مقادیر MBC بر اساس MIC به دست آمده برای هر

در ۴۵ دقیقه و ۱/۵ ساعت مشاهده نشد، بنابراین این مقادیر MIC به عنوان MBC در نظر گرفته شدند. در خصوص اشریشیا کولای O157:H7، پس از ۱/۵ ساعت هیچ رشدی در غلظت ۰/۵۵٪ اسانس مشاهده نگردید، لذا این غلظت به عنوان MBC تعیین شد.

باکتری و با افزایش غلظت تدریجی اسانس تعیین شد. غلظت‌های مورد بررسی ۰/۴۵٪، ۰/۵٪ و ۰/۵۵٪ برای اشریشیا کولای O157:H7، ۰/۹٪، ۰/۹۵٪ و ۱٪ برای سالمونلا انتریکا، ۱/۰۵٪، ۱/۱٪ و ۱/۱٪ برای لیستریا مونوسیژنز بود. در خصوص سالمونلا انتریکا و لیستریا مونوسیژنز، در غلظت‌های MIC، هیچ رشدی



شکل (۱) - سینتیک غیرفعال‌سازی اشریشیا کولای O157:H7 (◆...◆)، لیستریا مونوسیژنز (■-) و سالمونلا انتریکا (▲-) توسط اسانس رزماری در غلظت‌های تعیین شده توسط شمارش روی پلیت، به ترتیب ۰/۵۵٪، ۱٪ و ۰/۹٪ اشریشیا کولای O157:H7 در محیط فاقد اسانس (◇...◇)، لیستریا مونوسیژنز در محیط فاقد اسانس (□-) و سالمونلا انتریکا در محیط فاقد اسانس (△-).

و ۱۲/۹۵ بود که نشان‌دهنده تفاوت عمده‌ای میان سلول‌های زنده و مرده می‌باشد. برای لیستریا مونوسیژنز، افزایش Cp معادل ۳/۹۳ برآورده شد. در غلظت‌های سلولی بالاتر (۱۰<sup>۸</sup> cfu/ml)، PMA سیگنال‌های PCR را به‌طور کامل و مطابق آنچه در مطالعه پیشین مشاهده شد، حذف نمود (Elizaquivel

سوسپانسیون‌های میکروبی کشته شده توسط اسانس رزماری در غلظت‌های MBC، تحت آنالیز PMA-qPCR قرار گرفتند. مقادیر به‌دست آمده از آنالیز qPCR نمونه‌های تیمار شده با PMA و تیمار نشده در جدول (۳) نشان داده شده است. افزایش Cp برای اشریشیا کولای O157:H7 و سالمونلا انتریکا، به ترتیب، ۱۳/۷۵

et al., 2011). در سوسپانسیون‌های باکتریایی مرده با جمعیت  $10^4$  cfu/ml حاوی اسانس، هیچ سیگنالی توسط PMA-qPCR برای هیچ کدام از سه باکتری مورد بررسی به دست نیامد.

جدول (۳) - تعیین کمیت انتخابی سلول‌های زنده اشریشیا کولای O157:H7، لیستریا مونوسیتوژنز و سالمونلا انتریکا توسط PMA-qPCR پس از تیمار و غیرفعال‌سازی با اسانس رزماری

$\Delta Cp$	مرده تیمار شده با PMA		مرده		زنده		شمارش در پلیت (cfu/ml)	باکتری
	مقدار (ge/ml)	Cp $\pm$ SD	مقدار (ge/ml)	Cp $\pm$ SD	مقدار (ge/ml)	Cp <sup>1</sup> $\pm$ SD <sup>2</sup>		
۱۳/۷۵	$0/96 \pm 0/09$	$32/41 \pm 0/21$	$7/44 \pm 0/27$	$18/66 \pm 0/07$	$7/18 \pm 0/23$	$18/83 \pm 0/36$	$5/25 \times 10^4$	اشریشیا کولای
	۰	$35 <$	$4/71 \pm 0/54$	$27/76 \pm 0/36$	$4/60 \pm 0/35$	$27/15 \pm 0/15$	$1/43 \times 10^5$	
۳/۹۳	$4/71 \pm 0/33$	$21/20 \pm 0/22$	$8/19 \pm 0/33$	$17/27 \pm 0/18$	$8/15 \pm 0/31$	$16/41 \pm 0/26$	$1/15 \times 10^4$	لیستریا
	۰	$35 <$	$3/67 \pm 0/36$	$32/45 \pm 0/31$	$3/78 \pm 0/11$	$31/26 \pm 0/11$	$4/35 \times 10^4$	
۱۲/۹۵	$1/85 \pm 0/09$	$30/54 \pm 0/08$	$7/33 \pm 0/18$	$17/59 \pm 0/35$	$7/87 \pm 0/18$	$16/90 \pm 0/17$	$2/78 \times 10^4$	سالمونلا
	۰	$35 <$	$4/62 \pm 0/15$	$29/48 \pm 0/52$	$4/51 \pm 0/49$	$28/76 \pm 0/30$	$5/15 \times 10^5$	

<sup>1</sup> Cp: سیکلی از PCR که قطعه تکثیر از حد آستانه (crossing point) عبور می‌کند.

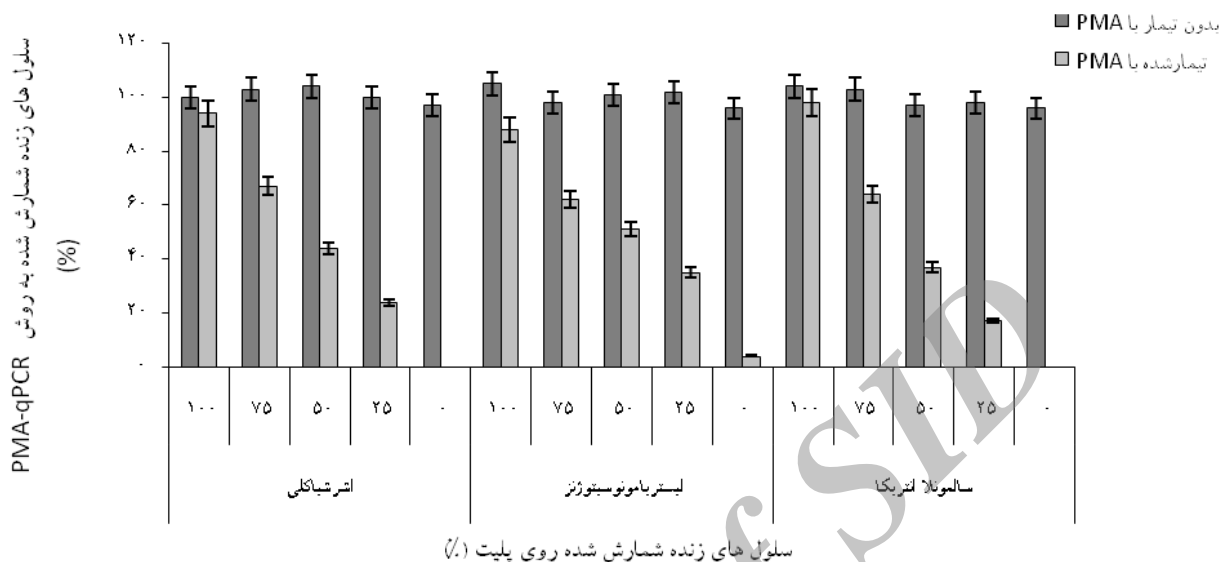
<sup>2</sup> SD: انحراف از میانگین (standard deviation)

<sup>3</sup> ge: معادل ژنومی (genome equivalents)

انتریکا و اشریشیا کولای O157:H7، با تعداد سلول‌های زنده شمارش شده روی پلیت مرتبط بود. در خصوص لیستریا مونوسیتوژنز، تعداد سلول‌های زنده در همه موارد بیشتر از تعداد واقعی تخمین زده شد و برای نمونه حاوی  $100\%$  سلول‌های مرده، آنالیز PMA-qPCR هم‌چنان وجود حدود  $5\%$  سلول زنده را نشان می‌داد.

نتایج PMA-qPCR به دست آمده برای ترکیب‌های مختلف سلول‌های زنده و مرده در مخلوط سبزیجات (اسفناج، منداب، کاهوی سبز و قرمز) تلقیح شده به‌طور مصنوعی در شکل (۲) نشان داده شده است. تعداد باکتری‌های در مخلوط سبزیجات  $2/89 \times 10^5$  cfu/g بود. مقادیر به دست آمده از PMA-qPCR برای سالمونلا





شکل (۲) - تعیین کمیت انتخابی نسبت‌های مختلف سلول‌های *اشریشیا کولای* O157:H7، *لیستریا مونوسیتوژنز* و *سالمونلا انتریکای* زنده و کشته شده توسط اسانس رزماری، تلقیح شده به سبزیجات. برای هر مورد، مقادیر qPCR مربوط به هر نمونه با یا بدون تیمار PMA به صورت درصد ارایه شده است.

## بحث و نتیجه‌گیری

به‌رغم استفاده از مواد نگهدارنده جهت کنترل فساد و عوامل بیماری‌زای ناشی از مواد غذایی، بحث ایمنی غذا هم‌چنان به‌عنوان چالشی برای این صنعت باقی مانده است. امروزه با وجود ارایه آگاهی از سوی مراجع قانونی صنعت غذا و در نتیجه تمایل کمتر تولیدکنندگان و مصرف‌کنندگان به استفاده از افزودنی‌های شیمیایی و مضر و تولید محصولاتی با تأثیرات سوء کمتر بر محیط زیست، استفاده از ترکیبات ضد میکروبی طبیعی به‌طور قابل ملاحظه‌ای افزایش یافته است. در این مطالعه، اسانس رزماری به‌علت دارا بودن فعالیت ضد میکروبی نسبتاً بالاتر از سایر اسانس‌های گیاهی، جهت ارزیابی انتخاب شد.

نتایج مطالعه اخیر نشان داد که اسانس رزماری واجد قابلیت مهار رشد *اشریشیا کولای*، *لیستریا مونوسیتوژنز* و *سالمونلا انتریکای* می‌باشد و در این بین بیشترین تأثیر را بر باکتری گرم منفی *اشریشیا کولای* داشت. مقدار MIC برای *اشریشیا کولای* O157:H7، *لیستریا مونوسیتوژنز* و *سالمونلا انتریکای*، به ترتیب برابر با ۰/۰۱۵٪، ۰/۰۱٪ و ۰/۰۰۹٪ بود. یافته‌های مشابهی توسط سلیکتاس و همکاران به‌دست آمد (Celiktas *et al.*, 2007). این محققان گزارش نمودند که *اشریشیا کولای* نسبت به اسانس رزماری حساس می‌باشد. این فعالیت ضد میکروبی قابل ملاحظه به‌علت وجود مقدار زیاد ۱، ۸-سینئول و سایر مونوترپن‌های فنولیک می‌باشد که حدود ۷۵٪ ترکیبات اسانس را به خود اختصاص می‌دهد؛ به‌نظر می‌رسد این ترکیبات با اعمال فعالیت

سالمونلا انتریکا و اشریشیا کولای O157:H7 نشان داد. در خصوص لیستریا مونوسیتوژنز افزایش در مقادیر بسیار ناچیز (Cp ۳/۹۳) بود. قابلیت جستجو و تعیین تعداد باکتری‌ها با استفاده از PMA-qPCR در حضور غلظت‌های بالای باکتریایی دچار محدودیت می‌گردد (Elizaquivel *et al.*, 2011; Slimani *et al.*, 2012; ) (Zhu *et al.*, 2012) زیرا تعداد بالای سلول‌ها در مرحله برقراری اتصالات عرضی، در زمان فعال شدن PMA، اختلال ایجاد می‌نماید. محدودیت دیگر، تأثیر طول قطعه تکثیرشده بر کفایت تیمار با PMA است. بنابراین، تکثیر توالی‌های طولانی به همراه تیمار با PMA، موجب بازداري بیشتر تکثیر DNA سلول‌های آسیب دیده می‌شود (Schnetzinger *et al.*, 2011). مطابق پیشنهادات سوئزیمما و همکاران، احتمال می‌رود علت تأثیر مثبت هدف قرار گرفتن توالی‌های طولانی‌تر DNA، افزایش احتمال اتصال رنگ در ناحیه هدف و در نتیجه بازداري قوی‌تر باشد (Soejima *et al.*, 2011). علاوه بر این، تخمین فراتر از واقعیت تعداد سلول‌های زنده لیستریا مونوسیتوژنز ممکن است به علت تفاوت در ساختار دیواره سلولی بین باکتری‌های گرم منفی و گرم مثبت باشد. در این رابطه، الیزاکویویل و همکاران دریافتند که روش PMA-qPCR به طور موفقیت‌آمیزی تعداد سلول‌های زنده سالمونلا انتریکا و اشریشیا کولای O157:H7 را تعیین می‌نماید (Elizaquivel *et al.*, 2011). هرچند، سیگنال‌های ضعیف حاصل از سلول‌های مرده طی تعیین تعداد سلول‌های لیستریا مونوسیتوژنز موجب تخمین فراتر از واقعیت تعداد سلول‌های لیستریا مونوسیتوژنز زنده شد. نتایج مشابهی برای لیستریا اینوکوا تیمار شده با حرارت به دست آمد (Lovdal *et*

سینرژیستی موجب ناپایداری در غشای سلولی می‌گردند (Mathlouthi *et al.*, 2010). هم‌چنین، لوپز-لوتز و همکاران اثبات نمودند که فعالیت ضد میکروبی اسانس رزماری تنها مربوط به ۱، ۸-سینئول نمی‌باشد (Lopes-Lutz *et al.*, 2008). کوردالی و همکاران نیز فعالیت ضد میکروبی قابل توجهی ۳ گونه درمنه ترکی را در شرایط آزمایشگاهی در برابر باکتری‌های بیماری‌زا نشان دادند (Kordali *et al.*, 2005). علاوه بر این، فعالیت ضد میکروبی ترکیبات جزئی دیگر مانند آلفا-پینن، بتا-پینن، لیمونن، آلفا-ترپینن، کاریوفیلین و کامفن نیز گزارش شده است (Sökmen *et al.*, 2004). راندریاناریولو و همکاران گزارش نمودند که اشریشیا کولای حساسیت بیشتری به لینالول خالص در مقایسه با ۱، ۸-سینئول دارد (Randrianarivelo *et al.*, 2009). هر سه پاتوژن با اسانس در غلظت‌های کشنده تیمار شده و تعداد سلول‌های زنده با استفاده از روش PMA-qPCR تعیین شد که این روش در مطالعات پیشین با استفاده از سایر اسانس‌های متداول (پونه کوهی، میخک و دارچین) نیز موفق بوده است (Elizaquivel *et al.*, 2012a). تأثیر اسانس رزماری بر سوسپانسیون‌های میکروبی ابتدا توسط شمارش روی پلیت ارزیابی گردید که هیچ رشد باکتریایی مشاهده نشد؛ این نتیجه نشان داد که عمده سلول‌های کشته شده و یا فاقد قابلیت رشد می‌باشند. سپس روش پیش‌آزمون شده PMA-qPCR (Elizaquivel *et al.*, 2011) جهت تعیین تعداد سلول‌های زنده تیمار شده با اسانس رزماری به کار رفت. نتایج نشان داد زمانی که از سوسپانسیون‌های سلولی با تراکم بالا ( $10^8$  cfu/ml) استفاده می‌شود، PMA-qPCR افزایشی بیش از Cp ۱۳ (حدود بیش از  $\log 4$ )، را برای

(2007). در برخی مطالعات هیچ تأثیری از سلول‌های مرده بر سیگنال سلول‌های زنده مشاهده نشده است (Wang and Levin, 2006). در مطالعه حاضر از طریق تلقیح نسبت‌های مختلف سلول‌های زنده و مرده به مخلوط سبزیجات این نتیجه به‌دست آمد. در ضمن، جستجوی سلول‌های زنده حتی در حضور میکروبیوتای طبیعی سبزیجات، که حدود  $10^6$  cfu/g تخمین زده شد، موفقیت‌آمیز بود. به علاوه، نتایج این مطالعه نشان داد که سلول‌های مرده پاتوژن در تعیین کمیت سلول‌های زنده در هیچ کدام از نسبت‌های مورد آزمایش تداخل ایجاد نمی‌کنند. تنها برای لیستریا مونوسیتوژنز یک سیگنال ضعیف، زمانی که تنها سلول‌های مرده در سوسپانسیون وجود داشتند، مشاهده شد. این مطالعه پتانسیل اسانس رزماری را در کاربرد به‌عنوان یک افزودنی غذایی طبیعی یا نگه‌دارنده زیستی نشان می‌دهد. اسانس رزماری غلظت‌های پایین‌تر و مدت زمان مواجهه کوتاه‌تر نسبت به سایر اسانس‌ها قادر به غیرفعال‌سازی غیرقابل برگشت سه پاتوژن مورد آزمایش بود. علاوه بر این، حضور سلول‌های زنده اما غیرقابل کشت که اغلب نتیجه تیمار با اسانس‌ها می‌باشد، به روش PMA-qPCR قابل ارزیابی است. کفایت این روش برای جستجوی انتخابی باکتری‌های پاتوژن زنده در سبزیجات به‌دنبال غیرفعال‌سازی با اسانس رزماری در این مطالعه اثبات شده است.

### سپاسگزاری

این مطالعه با استفاده از امتیاز پژوهشی شماره AGL2009-08603 از طرف وزارت علوم و ابداعات کشور اسپانیا و امتیاز پژوهشی اعطایی

(al., 2011) در باکتری‌های گرم منفی ساختار غشای خارجی دیواره‌ای نفوذپذیر را به‌وجود می‌آورد، در حالی که در باکتری‌های گرم مثبت این دیواره از جنس پپتیدوگلیکان است (Nogva et al., 2003). این تفاوت، نفوذ PMA را در باکتری‌های گرم منفی مرده تسهیل نموده و کارایی بهتر PMA را در تمایز بین سلول‌های زنده و مرده گرم منفی توجیح می‌نماید.

هنگامی که از سوسپانسیون‌های سلولی با غلظت پایین‌تر ( $10^4$  cfu/ml) استفاده شد، هیچ سیگنال qPCR پس از تیمار با PMA به‌دست نیامد. نتایج نشان داد که این تکنیک برای ارزیابی حضور سلول‌های پاتوژن زنده که معمولاً در تعداد پایین ( $10^2-10^4$  cfu/ml) در سبزیجات یافت می‌شوند، مناسب است (Nogva et al., 2003). علاوه بر این، نتایج نشان می‌دهد که PMA به‌طور موفقیت‌آمیزی سیگنال DNA سلول‌های مرده را حذف نمود به‌طوری که هیچ سیگنال تکثیری در هیچ کدام از سه پاتوژن مورد بررسی کشته شده مشاهده نشد. می‌توان نتیجه گرفت، تیمار با اسانس رزماری موجب مرگ سلول‌های باکتریایی و نفوذپذیر شدن آن‌ها نسبت به PMA گردید، بنابراین تأثیر این ترکیب ضد میکروبی طبیعی را می‌توان با تکنیک PMA-qPCR کنترل و ارزیابی نمود. از سوی دیگر، نسبت بین سلول‌های زنده و مرده و نیز حضور میکروبیوتای موجود در مواد غذایی که به‌طور طبیعی آلوده شده‌اند، از عواملی است که کارایی PMA-qPCR را تحت تأثیر قرار می‌دهد (Fittipaldi and Codony, 2012). تعیین تعداد سلول‌های زنده توسط PMA-qPCR در حضور تعداد زیاد سلول‌های مرده، زمانی که تعداد سلول‌های زنده اندک باشد، دشوار است (Pan and Breidt, 2003).

فرمانداری شهر والنسیا، اسپانیا، انجام شد. ACOMP/2010/279 و ACOMP/2012/199 از طرف

## منابع

- Adams, R.P. (2001). Identification of essential oils components by gas chromatography/ quadrupole mass spectroscopy. Illinois: Allured Publishing Corporation.
- Celiktas, O.Y., Kocabas, E.E.H., Bedir, E., Vardar Sukan F., Ozek, T. and Baser, K.H.C. (2007). Antimicrobial activities of methanol extracts and essential oils of *Rosmarinus officinalis*, depending on location and seasonal variations. *Food Chemistry*, 100: 553–559.
- Debersac, P., Haydel, J.M., Amiot, M.J., Goudonnet, H., Artue, Y., Suschetet, M., *et al.* (2001). Introduction of cytochrome P450 and/or dhietoxication enzymes by various extracts of rosemary description of specific patterns. *Food and Chemical Technology*, 39(9): 907-918.
- Elizaquivel, P., Gabaldón, J.A. and Aznar, R. (2011). Quantification of *Salmonella* spp., *Listeria monocytogenes* and *Escherichia coli* O157:H7 in non-spiked food products and evaluation of real-time PCR as a diagnostic tool in routine food analysis. *Food Control*, 22: 158-164.
- Elizaquivel, P., Sanchez, G. and Aznar, R. (2012a). Quantitative detection of viable foodborne *E. coli* O157:H7, *Listeria monocytogenes* and *Salmonella* in fresh-cut vegetables combining propidium monoazide and real-time PCR. *Food Control*, 25: 704-708.
- Elizaquivel, P., Sanchez, G. and Aznar, R. (2012b). Application of propidium monoazide quantitative PCR for selective detection of live *Escherichia coli* O157:H7 in vegetables after inactivation by essential oils. *International Journal of Food Microbiology*, 159(2): 115-121.
- Fittipaldi, M., Nocker, A. and Codony, F. (2012). Progress in understanding preferential detection of live cells using viability dyes in combination with DNA amplification. *Journal of Microbiological Methods*, 91(2): 276-289.
- Fu, Y.J., Zu, Y.G., Chen, L.Y., Shil, X.G., Wang, Z., Sunl, S., *et al.* (2007a). Antimicrobial activity of clove and rosemary essential oils alone and in combination. *Phytotherapy Research*, 21(10): 989–994.
- Fu, Y.J., Zu, Y.G., Chen, L.Y., Efferth, T., Lianch, H., Liu, Z., *et al.* (2007b). Investigation of antibacterial activity of rosemary essential oil against *Propionibacterium acnes* with atomic force microscopy. *Planta Medica*, 73(12): 1275-1280.
- Glaser, P., Frangeul, L., Buchrieser, C., Rusniok, C., Amend, A., Baquero, F., *et al.* (2001). Comparative genomics of *Listeria* species. *Science*, 294: 849-852.
- Hayashi, T., Makino, K., Ohnishi, M., Kurokawa, K., Ishii, K., Yokohama, K., *et al.* (2001). Complete genome sequence of enterohemorrhagic *Escherichia coli* O157:H7 and genomic comparison with laboratory strain K-12. *DNA Research*, 8: 11-22.
- Hoorfar, J., Ahrens, P. and Radström, P. (2000). Automated 5' nuclease PCR assay for identification of *Salmonella enterica*. *Journal of Clinical Microbiology*, 38(9): 3429-3435.
- International Organization for Standardization (ISO), (1998). Microbiology of food and animal feeding stuffs -- Horizontal method for the detection and enumeration of *Listeria monocytogenes* -- Part 2: Enumeration method. The European Standard EN. ISO No. 11290: 1998.
- International Organization for Standardization (ISO), (2001). Microbiology of food and animal feeding stuffs — Horizontal method for the detection of *Escherichia coli* O157. The European Standard EN. ISO No. 16654: 2001.
- International Organization for Standardization (ISO), (2002). Microbiology of food and animal feeding stuffs -- Horizontal method for the detection of *Salmonella* spp. The European Standard EN. ISO No. 6579: 2002.
- Jamshidi, R., Afzali, Z. and Afzali, D. (2009). Chemical composition of hydrodistillation essential oil of rosemary in different origins in Iran and comparison with other countries. *American-Eurasian Journal of Agricultural and Environmental Science*, 5(1): 78-81.

- Jarrar, N., Abu-Hijleh, A. and Adwan, K. (2010). Antibacterial activity of *Rosmarinus officinalis* L. alone and in combination with cefuroxime against methicillin-resistant *Staphylococcus aureus*. *Asian Pacific Journal of Tropical Medicine*, 3(2): 121-123.
- Jinneman, K.C., Yoshitomi, K.J. and Weagant, S.D. (2003). Multiplex real-time PCR method to identify shiga toxin genes *stx1* and *stx2* and *Escherichia coli* O157:H7/H e serotype. *Applied and Environmental Microbiology*, 69(10): 6327-6333.
- Josefsen, M.H., Lofstrom, C., Hansen, T.B., Christensen, L.S., Olsen, J.E. and Hoorfar, J. (2010). Rapid quantification of viable *Campylobacter* bacteria on chicken carcasses, using real-time PCR and propidium monoazide treatment, as a tool for quantitative risk assessment. *Applied and Environmental Microbiology*, 76(15): 5097-5104.
- Klancnik, A., Piskernik, S., Jersek, B., and Mozina, S.S. (2010). Evaluation of diffusion and dilution methods to determine the antibacterial activity of plant extracts. *Journal of Microbiological Methods*, 81(2): 121-126.
- Kordali, S., Cakir, A., Mavi, A., Kilic, H. and Yildirim, A. (2005). Screening of chemical composition and antifungal and antioxidant activities of the essential oils from three Turkish *Artemisia* species. *Journal of Agriculture and Food Chemistry*, 53: 1408-1416.
- Kramer, M., Obermajer, N., Bogovic, M.B., Rogelj, I. and Kmetec, V. (2009). Quantification of live and dead probiotic bacteria in lyophilised product by real-time PCR and by flow cytometry. *Applied Microbiological Biotechnology*, 84(6): 1137-1147.
- Lopes-Lutz, D., Alviano, D.S., Alviano, C.S. and Kolodziejczyk, P.P. (2008). Screening of chemical composition, antimicrobial and antioxidant activities of *Artemisia* essential oils. *Phytochemistry*, 69: 1732-1738.
- Lovdal, T., Hovda, M.B., Bjorkblom, B. and Moller, S.G. (2011). Propidium monoazide combined with real-time quantitative PCR underestimates heat-killed *Listeria innocua*. *Journal of Microbiological Methods*, 85(2): 164-169.
- Mathlouthi, N., Bouzaienne, T., Oueslati, I., Recoquillay, F., Hamdi, M., Urdaci, M., *et al.* (2010). Use of rosemary, oregano, and a commercial blend of essential oils in broiler chickens: In vitro antimicrobial activities and effects on growth performance. *Journal of Animal Science*, 90(3): 813-823.
- McClelland, M., Sanderson, K.E., Spieth, J., Clifton, S.W., Latreille, P. and Courtney, L. (2001). Complete genome sequence of *Salmonella enterica* serovar Typhimurium LT2. *Nature*, 413(6858): 852-856.
- Moghtader, M. and Afzali, D. (2009). Study of the antibacterial properties of the essential oil of rosemary. *American-Eurasian Journal of Agricultural and Environmental Science*, 5(3): 393-397.
- Nocker, A. and Camper, A.K. (2006). Selective removal of DNA from dead cells of mixed bacterial communities by use of ethidium monoazide. *Applied and Environmental Microbiology*, 72(3): 1997-2004.
- Nogva, H.K., Dromtorp, S.M., Nissen, H. and Rudi, K. (2003). Ethidium monoazide for DNA-based differentiation of viable and dead bacteria by 5'-nuclease PCR. *BioTechniques*, 34: 804-813.
- Ozcan, M.M.L. and Chalchat, J.C. (2008). Chemical composition and antifungal activity of rosemary (*Rosmarinus officinalis* L.) oil from Turkey. *International Journal of Food Science and Nutrition*, 59(7-8): 691-698.
- Pan, Y. and Breidt, F., Jr. (2007). Enumeration of viable *Listeria monocytogenes* cells by real time PCR with propidium monoazide and ethidium monoazide in the presence of dead cells. *Applied and Environmental Microbiology*, 73(24): 8028-8031.
- Randrianarivelo, R., Sarter, S., Odoux, E., Brat, P., Lebrun, M., Romestand, B., *et al.* (2009). Composition and antimicrobial activity of essential oils of *Cinnamosma fragrans*. *Food Chemistry*, 114: 680-684.

- Rodríguez-Lázaro, D., Hernandez, M. and Pla, M. (2004). Simultaneous quantitative detection of *Listeria* spp. and *Listeria monocytogenes* using a duplex real-time PCR-based assay. *FEMS Microbiology Letters*, 233: 257-267.
- Rudi, K., Nogva, H.K., Moen, B., Nissen, H., Bredholt, S., Moretro, T., *et al.* (2002). Development and application of new nucleic acid-based technologies for microbial community analyses in foods. *International Journal of Food Microbiology*, 78: 171-180.
- Ruiz, A., Williams, S.K., Djeri, N., Hinton, A. Jr. and Rodrick, G.E. (2009). Nisin, rosemary, and ethylene diaminetetraacetic acid affect the growth of *Listeria monocytogenes* on ready-to-eat turkey ham stored at four degrees Celsius for sixty-three days. *Poultry Science*, 88(8): 1765-1772.
- Schnetzinger, F., Pan, Y. and Nocker, A. (2013). Use of propidium monoazide and increased amplicon length reduce false-positive signals in quantitative PCR for bioburden analysis. *Applied Microbiology and Biotechnology*, 97: 2153-2162.
- Slimani, S., Robyns, A., Jarraud, S., Molmeret, M., Dusserre, E. and Mazure, C. (2012). Evaluation of propidium monoazide (PMA) treatment directly on membrane filter for the enumeration of viable but non cultivable *Legionella* by qPCR. *Journal of Microbiological Methods*, 88(2): 319-321.
- Soejima, T., Schlitt-Dittrich, F. and Yoshida, S.I. (2011). Polymerase chain reaction amplification length-dependent ethidium monoazide suppression power for heat-killed cells of enterobacteriaceae. *Analytical Biochemistry*, 418: 37-43.
- Sökmen, A., Gulluce, M., Askin H.A., Daferera, D., Tepe, B., Polissiou, M., *et al.* (2004). The in vitro antimicrobial and antioxidant activities of the essential oils and methanol extracts of endemic *Thymus spathulifolius*. *Food Control*, 15: 627-634.
- Wang, S. and Levin, R.E. (2006). Discrimination of viable *Vibrio vulnificus* cells from dead cells in real-time PCR. *Journal of Microbiological Methods*, 64(1): 1-8.
- Wentao, X., Wei, Q., Kunlun, H., Feng, G., Jiajia, Y., Heng, Z. and YunBo, L. (2007). Antibacterial effect of grapefruit seed extract on food-borne pathogens and its application in the preservation of minimally processed vegetables. *Postharvest Biology and Technology*, 45(1): 126-133.
- Zegura, B., Dobnikb, D., Niderlc, M.H. and Filipiča, M. (2011). Antioxidant and antigenotoxic effects of rosemary (*Rosmarinus officinalis* L.) extracts in *Salmonella typhimurium* TA98 and HepG2 cells. *Environmental Toxicology and Pharmacology*, 32(2): 296-305.
- Zhu, R.G., Li, T.P., Jia, Y.F. and Song, L.F. (2012). Quantitative study of viable *Vibrio parahemolyticus* cells in raw seafood using propidium monoazide in combination with quantitative PCR. *Journal of Microbiological Methods*, 90: 262-266.